

УДК 539.1.043+539.213+539.27

КРИСТАЛЛОГРАФИЯ

А. И. ГЕРАСИМОВ, Е. И. ЗОРИН, П. В. ПАВЛОВ, Д. И. ТЕТЕЛЬБАУМ
**СВЯЗЬ МЕЖДУ АМОРФИЗАЦИЕЙ И ОБРАЗОВАНИЕМ ТОЧЕЧНЫХ
ДЕФЕКТОВ ПРИ ИОННОЙ БОМБАРДИРОВКЕ ГЕРМАНИЯ
И КРЕМНИЯ**

(Представлено академиком Н. В. Беловым 21 X 1969)

Известно, что при бомбардировке германия и кремния ионами средних энергий наблюдается переход приповерхностных слоев в аморфное состояние. Это явление исследовалось с помощью электронной микроскопии и электронографии (1-6), а также методом резерфордовского рассеяния высокоенергетических ионных пучков (7, 8). На основании данных работ (3-6) можно сделать вывод, что наиболее вероятным механизмом аморфизации является накопление радиационных дефектов. При некоторой концентрации последних кристаллическое состояние становится неустойчивым, и происходит разупорядочение структуры.

Однако имеющиеся в литературе данные не позволяют сделать определенных выводов о связи параметров, характеризующих аморфизацию (критические дозы аморфизации, толщины аморфных слоев, устойчивость аморфного состояния при отжиге), и параметров, характеризующих дефектообразование при ионной бомбардировке (относительная концентрация и распределение точечных радиационных дефектов при различных условиях облучения). Установление такой связи не только явилось бы дополнительным аргументом в пользу предложенного механизма аморфизации, но и способствовало бы объяснению ее закономерностей, а также проверке теоретических расчетов по дефектообразованию (9). В настоящей работе приводятся результаты некоторых экспериментов, указывающих, что такая связь действительно имеет место.

1. Чтобы выяснить, какое влияние оказывает на степень ближнего порядка аморфного германия сорт ионов, методом фурье-анализа были расшифрованы структуры аморфизованных пленок Ge, облученных (при одинаковой дозе 1000 икул/см²) ионами B⁺, N⁺ и Ar⁺.

Степень ближнего порядка характеризуется остротой максимумов кривой радиального распределения атомной плотности. В качестве меры упорядоченности возьмем отношение высоты максимума h к ширине w при нулевой ординате, h/w для первых двух координационных сфер принимает следующие значения:

	B ⁺	N ⁺	Ar ⁺
1-я координационная сфера	14,7	12,1	7,0
2-я координационная сфера	22,0	21,2	17,9

Как видно, степень ближнего порядка уменьшается с ростом массы ионов. Это связано с тем, что при перегруппировке атомов, происходящей в аморфизованном слое в результате попадания в него ускоренных ионов, степень упорядоченности должна зависеть от концентрации разорванных связей (или, что то же самое, радиационных дефектов) в каскадах атомных смещений, развивающихся при торможении ионов. Последняя же возрастает с увеличением массы ионов (9).

* Данные для дозы 1000 икул/см² были приведены в работе (3).

2. На рис. 1 представлена зависимость дозы $D_{\text{ам}}$, при которых наступает аморфизация Ge и Si при бомбардировке ионами B^+ и P^+ с различными энергиями, от концентрации точечных радиационных дефектов (вакансий) на поверхности n_0 , приходящихся на 1 ион/ cm^2 . Величины n_0 рассчитывались методом Монте-Карло*. Видно, что за единственным исключением (бомбардировка Si ионами B^+) указанная зависимость укладывается на одну кривую, причем в довольно широких пределах $D_{\text{ам}}$ обратно пропорциональна n_0 . Это свидетельствует о том, что аморфизация Ge и Si наступает после накопления определенной концентрации дефектов, в известной степени независимо от условий облучения. Замедление спада $D_{\text{ам}}$ при больших n_0 можно объяснить усиленной рекомбинацией дефектов при высоких плотностях последних в каскадах смещений. Выпадение из общей закономерности точки, соответствующей паре $B^+ - Si$, возможно связано с тем, что ионы бора с $E = 50$ кэВ претерпевают слабо экранированные кулоновские столкновения, при которых передачи энергии атомам мишени малы. При этом образуются близкие пары вакансия — междуузельный атом, легко рекомбинирующие между собой.

3. Методом последовательного удаления с облученной поверхности кремния тонких слоев и съемки электронограмм на отражение были измерены толщины аморфных слоев $h_{\text{ам}}$ при

различных энергиях ионов фосфора (рис. 2). Слои удалялись посредством анодного окисления и последующего растворения окисных пленок в плавиковой кислоте. Экспериментальные точки хорошо ложатся на кривую, соответствующую расчетной глубине проникновения радиационных дефектов (9). (Наилучшее согласие получается в том случае, если в качестве глубины взята абсцисса точки, где концентрация дефектов составляет 0,2 от максимальной для данной энергии.) Аналогичный результат получен и для ионов бора.

В соответствии с колоколообразной формой распределения радиационных дефектов, полученной расчетным путем, следует ожидать, что при дозах облучения, близких к $D_{\text{ам}}$, аморфный слой залегает на некотором удалении от поверхности. Рис. 3, на котором приведены электронограммы облученной ионами бора поверхности Si после удаления слоев различной толщины, подтверждают это предположение (рис. 3 см. вклейку к стр. 315).

4. Исследование отжига аморфизованных слоев Ge и Si показало, что кристаллизация Ge происходит при $400-500^\circ$, а Si — при $600-700^\circ$ (вре-

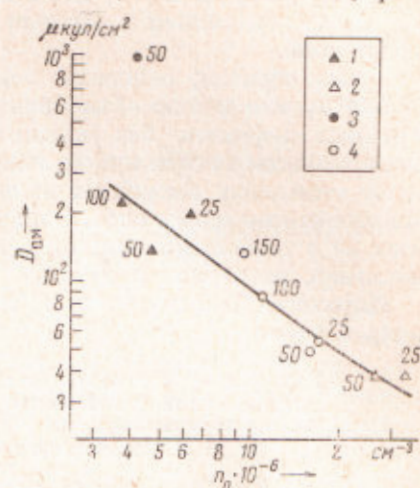


Рис. 1. Зависимость доз аморфизации $D_{\text{ам}}$ Ge и Si от концентрации n_0 вакансий на поверхности, приходящейся на 1 ион/ см^2 . 1 — $B^+ - Ge$; 2 — $P^+ - Ge$; 3 — $B^+ - Si$; 4 — $P^+ - Si$. Числа возле экспериментальных точек обозначают энергию ионов (кэВ)

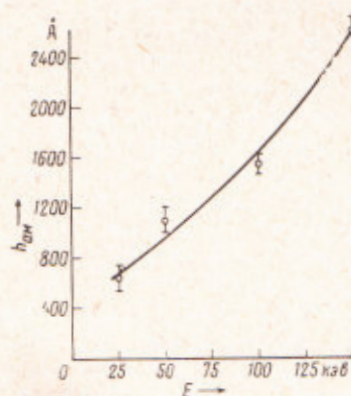


Рис. 2. Толщины аморфных слоев $h_{\text{ам}}$ в Si в зависимости от энергии E (доза 300 $\mu\text{кул}/\text{см}^2$). Кривая соответствует глубинам, где концентрация вакансий составляет 0,2 от максимальной для данной энергии

* При расчете порог смещения E_d был принят равным 30 эв.

мя отжига $t = 0,5$ часа). Это согласуется с приведенными в литературе данными (1, 4, 5, 8). Температура кристаллизации несколько изменяется в зависимости от сорта иона — повышается \sim на 50° для более тяжелых ионов Ar^+ по сравнению с ионами N^+ или B^+ . Последнее связано с указанной выше тенденцией к уменьшению степени упорядоченности с ростом массы иона.

Таким образом, основные закономерности аморфизации при ионной бомбардировке можно объяснить в рамках представлений об образовании точечных дефектов, без привлечения гипотезы о тепловых пиках (1). Единственным веским аргументом в пользу этой гипотезы является появление отдельных аморфных включений, предшествующее формированию сплошного аморфного слоя. Однако указанные включения могут быть связаны не с тепловыми пиками, а с коагуляцией радиационных дефектов, например, на атомах примеси.

Выражаем благодарность Т. Н. Стрижевой и Р. В. Кудрявцевой за помощь в работе.

Горьковский исследовательский
физико-технический институт
Горьковского государственного университета
им. Н. И. Лобачевского

Поступило
1 VII 1969

ЦИТИРОВАННАЯ ЛИТЕРАТУРА

- ¹ J. R. Parsons, Phil. Mag., **12**, 1159 (1965). ² П. В. Павлов, Д. И. Тетельбаум и др., Кристаллография, **12**, № 1, 155 (1967). ³ П. В. Павлов, Д. И. Тетельбаум, ДАН, **175**, № 4, 823 (1967). ⁴ L. N. Large, R. W. Bicknell, J. Mater. Sci., **2**, 589 (1967). ⁵ D. J. Mazey, R. S. Nelson, R. S. Barnes, Phil. Mag., **17**, 1145 (1968). ⁶ R. S. Nelson, D. J. Mazey, Canad. J. Phys., **46**, 689 (1968). ⁷ J. A. Davies, J. Denhartog et al., ibid., **46**, 4073 (1967). ⁸ J. W. Mayeur, L. Eriksson et al., ibid., **46**, 663 (1968). ⁹ П. В. Павлов, Д. И. Тетельбаум и др., Физ. и техн. полупроводников, **8**, 2679 (1966).